

## 1. まえがき

河川堤防が破堤した場合、堤内地に向つてはんらん水が刻々拡がつて行く状況を推測するため、諸条件を單純にした場合について、多くの実験を行つて来ているが、解析的手法を用ひないで、圓形的アアローチによつて、はんらん水の拡り範囲や拡り速度など概略な値を求める方法の一つについて述べる。(昨年の講演会では別の方法について述べておいた。)会場ではスライドを用ひ補足説明をする。

## 2. 実験の種類と方法

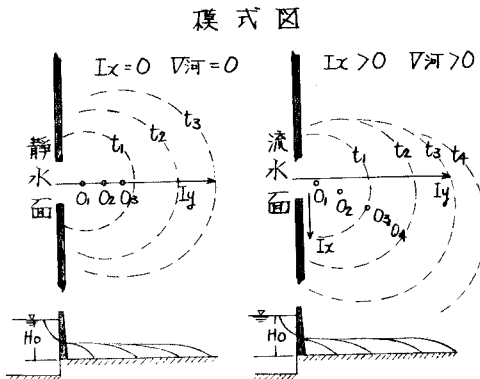
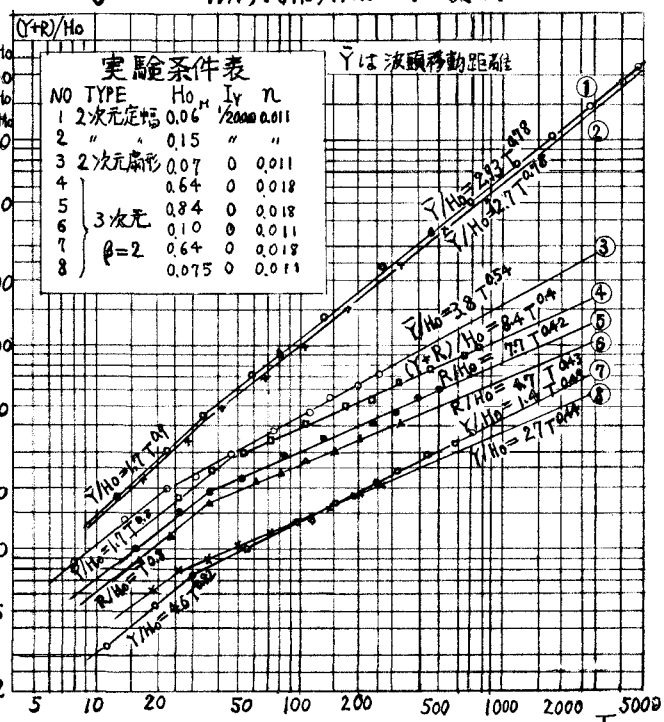
実験は河川の流速を0とした静水面実験と河川に流れを與えた流水面実験に分かれ。前者は更に絵木のある場合(溢流深一定、或いは漸変)とない場合に分かれる。また実験規模の点より、規模の基準を溢流深の大きさにおける、二水が0.1m以下の場合を小規模、0.1m~0.2mの場合を中規模模型実験、0.3m以上を大規模野外実験として区分し、溢流深0.84mの場合が最大規模であつた。

実験は土砂を含まぬ清水のみを封筒とし  
溢流はんらんとは堤内地平面の一側に水面  
積の大きい水槽をおき、壁面に所定幅のゲ  
ートを設け、二水を急激に上方に持ち上げ  
て水槽底の水を溢出させ、堤内地平面は  
は事前灌水をさせていい。

実験条件と(2) 河川水面流速、溢流深  
(破堤幅、堤内地地盤勾配(X、Y方向)  
地盤粗度(模型による家庭庭へいを含む。)  
各種の変化の組合せを、実験の標準条件  
として、設備の関係もあつて、静水面、破  
堤幅比 $R/H_0$ 、地盤勾配0、(二方向とも),  
地盤粗度マニシグ粗度係数 $n=0.01$ ,  
(平坦な鋼板ばり)を選ぶ。他の条件の  
場合はこれに對比させ。はんらん水の拡り  
は色々で準じた状態をカメラで、水位は針  
量水板で測定、或いはカメラでうつした。

## 3. 溢流深一定の場合の拡り。

(1) 静水面状態からの溢流、模式圖(a)に示すような場合、破堤幅 $B_0$ が溢流深 $H_0$ の8倍程度以下に對し、破堤直後の僅かな範囲を除き、拡り图形は近似的に中心座標の移動する円とみられ、はんらん区域は同心の包絡線と堤防線のが二重区域とみられる。行つた実験の範囲( $H_0=0.05\text{m} \sim 0.84\text{m}$ )内で、Fig-1に示すように  $Y/H_0 = K_1 T^{M_1}$ ,  $R/H_0 = K_2 T^{M_2}$  の関係があるとみられるようである。但し、YはY方向の中心

Fig-1  $Y/H_0, R/H_0, Y/H_0$  と  $T$  の関係

の移動距離,  $R$  は半径,  $T = \sqrt{g} H_0$ ,  $g$  は重力加速度,  $t$  は時間(秒),  $K_i, m_i$  は常数である。図に見られるように  $T$  の値が 25~50 位のところに折れがあり、2 つの直線に分かれている。これは射流と噴流の境界近くであると推察される。この破壊口に近い方の直線は実際上はあまり必要でないもので、はんうん予測の上からはあと一本の線で足りることとなり、実用上便利である。但し実験で確かめられない  $T$  の大きな領域、たとえば  $T/500$  あたりよりも、傾斜角がでてくるかも知れない。

Fig-1 には、ほゞ同じ条件で溢流水路を行った二次元定幅水路での測定結果(側壁における抵抗を無視すれば破堤幅無限大の 3 次元の場合とも見做し得る)及び水路幅の漸増する扇形水路での測定結果を書き入れてある。何れの場合も抜き線移動距離  $\bar{Y}$  に關し ( $\bar{Y}$  は 3 次元の場合の  $Y+R$  に相当する)、 $\bar{Y}/H_0 = K_i T^{m_i}$  の関係があるようである。さて上記の  $K_i$  は地盤粗度、地盤勾配或いは  $B_0/H_0$  の値によつて変化する。これに對し  $m_i$  はいかば次元数によつて多く影響されるので筆者は  $m_i$  を次元係数、 $K_i$  の逆数を抵抗係数と復り呼ぶことにす。 $m_i$  の値について、3 次元抜きの場合(地盤勾配が水平に近いとき)、 $R$  に対する  $1/2$  は 0.3~0.45,  $\bar{Y}$  に対する  $1/2$  は 0.2~0.45,  $Y+R$  に対する  $1/2$  は 0.4~0.5, 2 次元扇形の場合には 0.5~0.7, 2 次元定幅の場合には 0.7~0.9 の範囲にある。破堤幅比( $B_0/H_0$ )が大きい場合はもや円形抜きとは言へず、大体破堤延長の両端から  $4H_0$  の間を半円抜きと考え、中心部は二次元定幅、或いは扇形の場合として抜き最大距離を求めて外縁をなめくがゆく形でつなげることによつて近似せよ。左あ、スカラム勾配がつづければ当然  $X$  は左側と地盤粗度の影響をうけた。

Fig-2 には  $B_0/H_0 = \beta$ ,  $I_y$ , 地盤粗度(左側にはマンニンゲの粗度係数或いは浸透率)によつて、 $K_i, m_i$  の値がどうなるかの一例を示す。

なお注意すべき点として、破壊口からの流出量は当初一定に近いが、やがて時間の経過とともに漸減する。

## (2) 流水状態からの溢流

貯水が  $X$  方向に  $H_0$  の一样的な流速をもつて流れている場合には、抜き円の中心の  $X$  方向への移動距離  $X$  に關し、 $H_{ox} = V_0^2/g$  とおいて、 $X/H_{ox} = K_1 T^{m_1} \times$  考えてよいであろう。

4. 溢流水深が時間的に変化する場合の抜き。実際には破壊後水深が低下する場合が多いが、このよる場合の抜きはいわば履歴現象である。時刻  $t$  での抜き速度がその時刻  $H_0$  の半分はよらないので、 $\frac{dR}{dt}, \frac{dY}{dt}, \frac{dX}{dt}$  を(左とえば  $R = R_0 t^{m_2} + R_1 t^{m_2} H_0^{-\frac{m_2}{2}}$  とし)求め、数値積分によつて求めても正確的で正確でないので、便法として、時間をいくつか Step に切り、それをもとめて  $H_0$  はつづけてとる。

5. 実際に河川への適用、実験の相似則が大局的にフルード則に従うものと仮定して、筆者が東京都防災会議の地震水害予測調査に際し、破壊による密集市街地のはんうん予測に用いたグラフを Fig-3 に掲げておく。

Fig-2  $I_y, f, n, \theta, \beta$  による差異(一例)

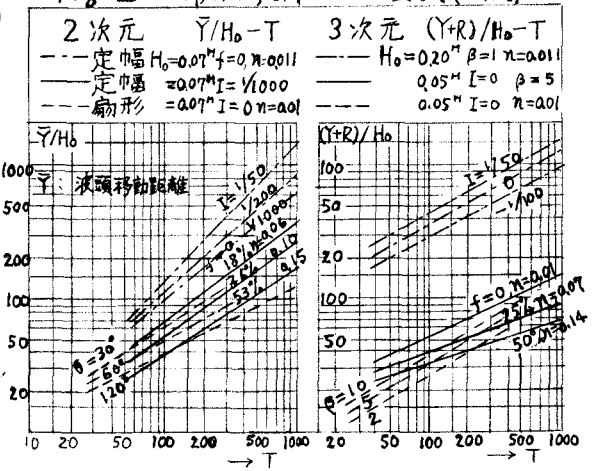


Fig-3  
平坦密集市街地における抜き予測図

